

СООБЩЕНИЯ
ОБЪЕДИНЕННОГО
ИНСТИТУТА
ЯДЕРНЫХ
ИССЛЕДОВАНИЙ

ДУБНА



7546

Экз. чит. зала

P1 - 7546

Н.С.Ангелов, В.Г.Гришин, Г.И.Копылов

МЕТОД ВОССТАНОВЛЕНИЯ СПЕКТРА ИМПУЛЬСОВ

π^0 -МЕЗОНОВ ПО СПЕКТРАМ γ -КВАНТОВ

1973

ЛАБОРАТОРИЯ ВЫСОКИХ ЭНЕРГИЙ

P1 - 7546

Н.С.Ангелов, В.Г.Гришин, Г.И.Копылов

МЕТОД ВОССТАНОВЛЕНИЯ СПЕКТРА ИМПУЛЬСОВ
 π^0 -МЕЗОНОВ ПО СПЕКТРАМ γ -КВАНТОВ

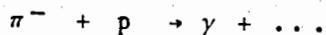
S u m m a r y

A method for reconstruction of longitudinal and transverse momentum distributions of π^0 -mesons in inclusive reactions is described.

There exists a unique dependence between the experimental spectra of single γ -quanta from π^0 -decays and the real spectra of π^0 -mesons. This dependence can be expressed by a Fredholm equation of the first type. The method of statistical regularization appears to be applicable to this incorrect problem.

We have tested the method for rather poor efficiency of γ -detection. The accuracy of the spectra reconstruction has been checked by means of Monte-Carlo imitation of real processes.

The longitudinal and transverse momentum spectra of π^0 -mesons have been obtained on the basis of about 3000 γ -quanta in the reaction



at the incident π^- -momentum $P = (40.00 \pm 0.24)$ GeV/c.

The possibility to apply the method to a wide range of problems in high energy physics is pointed out.

§1. Постановка задачи

В работе /1/ показано, что спектр проекций импульсов π^0 -мезонов на некоторую ось однозначно связан со спектром проекций импульсов γ -квантов от распада π^0 -мезонов на ту же ось. Так, например, спектры продольных импульсов $N(p_{||})$ / π^0 -мезонов/ и $n(q_{||})$ / γ -квантов/ связаны уравнением:

$$n(q_{||}) = \int_{p'}^{p''} \frac{N(p_{||}) dp_{||}}{\sqrt{p_{||}^2 + m_{\pi}^2}}, \quad /1/$$

где

$$\begin{cases} p' = q_{||} - m_{\pi}^2 / 4q_{||}, p'' = \infty & \text{при } q_{||} > 0, \\ p' = -\infty, p'' = q_{||} + m_{\pi}^2 / 4q_{||} & \text{при } q_{||} < 0. \end{cases}$$

Таким же уравнениям удовлетворяют спектры проекций импульсов на поперечные оси x и z . Эти последние, в свою очередь, однозначно связаны со спектром $\tilde{N}(p_{\perp})$ поперечных импульсов:

$$N(p_x) = \frac{1}{\pi} \int_{|p_x|}^{\infty} \tilde{N}(p_{\perp}) (p_{\perp}^2 - p_x^2)^{-1/2} dp_{\perp}. \quad /2/$$

Уравнения /1/, /2/ допускают прямое аналитическое решение. Искомые спектры $N(p_{||})$, $\tilde{N}(p_{\perp})$ получаются дифференцированием экспериментально наблюдаемых

спектров $n(q_{\parallel})$, $n(q_x)$. Дифференцирование гистограмм - некорректная операция, поэтому некорректной является и задача восстановления спектров π^0 -мезонов по спектрам γ -квантов.

§2. Метод Турчина и его возможности

В.Ф. Турчин^{/2/} предложил метод решения некорректных задач, названный им методом статистической регуляризации и получивший дальнейшее развитие в работах^{/3-5/}. Суть его сводится к замене интегрального уравнения:

$$f(y) = \int_a^b K(x, y) \phi(x) dx, \quad c \leq y \leq d \quad /3/$$

системой алгебраических

$$f_j = \sum_{i=1}^n K_{ji} \phi_i \quad (j=1, 2, \dots, m). \quad /4/$$

Число алгебраических уравнений m не обязательно должно совпадать с числом n неизвестных значений ϕ_i искомого функции $\phi(x)$ в точках $x_1, x_2, \dots, x_j, \dots, x_n$, но может быть больше или меньше его. Недостающие уравнения получаются из условий регуляризации. Эти условия используют имеющуюся, как правило, в нашем распоряжении добавочную информацию о функции $\phi(x)$. Нам может быть, например, известно, что функция $\phi(x)$ непрерывна, или что к тому же и ее производная непрерывна, или что непрерывны и вторые производные. Это последнее означает, что сумма квадратов приращений второго порядка функции $\phi(x)$ на интервале (a, b) ограничена каким-то числом, и среди всевозможных наборов надо искать лишь те, которые попадают под это ограничение. Кроме того, когда искомая функция $\phi(x)$ есть плотность вероятности, важно использовать добавочное ограничение: $\phi_j \geq 0$.

Метод статистической регуляризации считает отклонения экспериментально наблюдаемых величин f_j от

суммы $\sum_{i=1}^n K_{ji} \phi_i$ случайной величиной, распределенной по известному закону - а именно, Гауссову:

$$P(\vec{f} | \vec{\phi}) = \prod_{j=1}^m \frac{1}{\sqrt{2\pi\sigma_j^2}} \exp\left\{-\frac{1}{2\sigma_j^2} [f_j - \sum_{i=1}^n K_{ji} \phi_i]^2\right\}. \quad /5/$$

Информация о свойствах $\phi(x)$ включается следующим образом: векторы $\vec{\phi} = \{\phi_1, \phi_2, \dots, \phi_n\}$ считаются случайными и распределенными так, что вектор $\vec{\phi}$ тем более вероятен, чем меньше он отклоняется от требования придавать нужную гладкость функции $\phi(x)$. Пусть, например, требование гладкости есть:

$$\int_a^b \left(\frac{d\phi}{dx}\right)^2 dx \leq \omega, \quad /6/$$

где ω - некоторая выбранная нами численная мера гладкости. Заменяя в /6/ дифференциалы приращениями, запишем его в виде:

$$(\vec{\phi}, \Omega \vec{\phi}) = \sum_{i=3}^n \sum_{j=i-2}^i \phi_i \Omega_{ij} \phi_j \leq \omega, \quad /6a/$$

где Ω_{ij} является матрицей коэффициентов при произведениях $\phi_i \phi_j$.

Тогда естественно предположить, что векторы $\vec{\phi}$ распределены по закону:

$$P(\vec{\phi}) = C_a \exp\left\{-\frac{a}{2} (\vec{\phi}, \Omega \vec{\phi})\right\}, \quad a = \frac{n}{\omega} \quad /7/$$

/априорная вероятность/.

Апостериорная вероятность $P(\vec{\phi}; \vec{f})$ - вероятность получить вектор $\vec{\phi}$ из наблюдений, дающих вектор \vec{f} , - дается формулой Бейеса:

$$P(\vec{\phi}/\vec{f}) = \frac{P(\vec{f}/\vec{\phi})P(\vec{\phi})}{\int P(\vec{f}/\vec{\phi})P(\vec{\phi})d\vec{\phi}} \quad /8/$$

Надо искать вектор $\vec{\phi}$, максимизирующий $P(\vec{\phi}/\vec{f})$. Это значит, что нужно найти минимум квадратичного функционала:

$$\Phi(\vec{\phi}) = \sum_{j=1}^m \frac{1}{2\sigma_j^2} [f_j - \sum_{i=1}^n K_{ji} \phi_i]^2 + \frac{\alpha}{2} (\vec{\phi}, \Omega \vec{\phi}) \quad /9/$$

в области положительных ϕ_i .

Отыскание минимума функционала /9/ производится с помощью процедуры STREG, на вход которой подается вектор экспериментально наблюдаемых величин $\vec{f} = \{f_1, f_2, \dots, f_m\}$, вектор погрешностей $\vec{\sigma} = \{\sigma_1, \sigma_2, \dots, \sigma_m\}$, значения m, n и ядра K_{ji} , а на выходе получается вектор искомых значений $\vec{\phi} = \{\phi_1, \phi_2, \dots, \phi_n\}$ и их коридор погрешностей в точках $\vec{x} = \{x_1, x_2, \dots, x_n\}$.

Можно изменять степень гладкости и ее мажоранту α . Если α не задано; процедура минимизирует функционал также и по α . Возможно не только решать интегральные уравнения /системы уравнений/, но и сглаживать одномерные гистограммы, дифференцировать их и т.д. Заметим, что погрешность восстановленной функции $\phi(x)$ может быть в принципе меньше, чем погрешность экспериментальных измерений $f(y)$, потому что при восстановлении используется добавочная информация о гладкости $\phi(x)$.

Насколько нам известно, в физике высоких энергий метод Турчина не использовался. В физике низких энергий он применялся в экспериментах по определению множественности мгновенных нейтронов при спонтанном делении ядер /5/. Между тем существует немало так называемых "обратных" задач, которые мы не решаем из-за их некорректности. Наряду с упомянутым в начале статьи восстановлением импульсных спектров π^0 -мезонов мож-

но назвать задачи о восстановлении спектра эффективных масс пар $\pi^+ \pi^0$ по спектру масс $\pi^+ \gamma /6/$, об определении спектра энергии K^0 -мезонов по наблюдениям части продуктов их распада /7,8/, о восстановлении углового спектра π^0 -мезонов /8/. Крайне интересна задача о восстановлении в инклюзивных реакциях $a+b \rightarrow \pi^0 +$ "что-угодно" структурной /двумерной/ функции π^0 -мезона. Наша работа является первой попыткой решения таких задач.

§3. Переход от интегральных уравнений к алгебраическим

Для применения метода Турчина надо интеграл /3/ заменить суммой, взятой в n опорных точках x_i ($i=1, 2, \dots, n$). Количество опорных точек в варианте подпрограммы STREG, написанном на ФОРТРАНе, достигает ста. Расстояние между опорными точками бралось постоянным; интервал интегрирования по x был разбит

на отрезки $(x_i - \frac{1}{2} \Delta x, x_i + \frac{1}{2} \Delta x)$ вокруг опорных точек x_i :

$$\int_a^b K(x, y) \phi(x) dx = \sum_{i=1}^n \int_{x_i - \Delta x/2}^{x_i + \Delta x/2} K(x, y) \phi(x) dx. \quad /10/$$

На этих отрезках $\phi(x)$ считалось постоянным: $\phi(x) = \phi(x_i)$, поэтому

$$\int_a^b K(x, y) \phi(x) dx \approx \sum_{i=1}^n \phi(x_i) \int_{x_i - \Delta x/2}^{x_i + \Delta x/2} K(x, y) dx. \quad /11/$$

Затем на каждом отрезке брались значения $K(x, y)$ в трех точках $x_i \pm \frac{\Delta x}{2}$, x_i , и интеграл от $K(x, y)$ вычислялся по формуле парабол. Когда на интервале $(x_i - \frac{\Delta x}{2}, x_i + \frac{\Delta x}{2})$ ядро $K(x, y)$ испытывало скачок от нуля до конечных значений, как это имеет место в уравнении /1/ при $p_{\parallel} = p'$ или p'' и в уравнении /2/ при $p_x = p_{\perp}$, то этот интервал сжимали настолько, чтобы внутри него $K(x, y)$ менялось непрерывно. Например, когда в /2/ оказывалось, что в одной из опорных точек $p_{\perp} - \frac{\Delta p_{\perp}}{2} < p_x$, то парабола в /11/ проводилась через точки $p_x + \epsilon$, p_{\perp} , $p_{\perp} + \frac{1}{2} \Delta p_{\perp}$, где $\epsilon \ll 1$.

§4. Проверка работы программы

В работе /5/ возможности метода исследовались путем математического моделирования. Мы также прибегли к этому методу. Бралось интегральное уравнение:

$$n(q) = \int_{p'}^{\infty} N(p) K(q, p) dp, \quad /12/$$

где ядро $K(q, p) = (p^2 + M^2)^{-1/2}$, $M = 1$ и $p' = q - q_0^2/q$. Мы полагали спектр $N(p)$ равным:

$$N(p) = p^k (p^2 + M^2)^{1/2} \exp(-p/p_0), \quad /13/$$

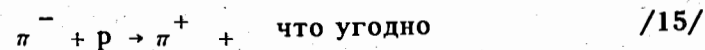
где $k=0, 1, p_0=1$. В этом случае $n(q)$ вычисляется аналитически:

$$n(q) = p_0 \exp(-p'/p_0) \quad (k=0)$$

$$n(q) = p_0 (p' + p_0) \exp(-p'/p_0) \quad (k=1). \quad /14/$$

Затем вносили в $n(q)$ случайные ошибки $\Delta n = 5\%$, 10% , 20% и сравнивали получаемый спектр $N(p)$ с заданным в /13/. На рис. 1-4 показаны результаты этого сравнения. Видно, что в пределах однократной ошибки получаемый спектр $N(p)$ совпадает с заданным.

Так как наша основная задача состояла в восстановлении спектров π^0 -мезонов, то для более конкретной проверки метода мы использовали экспериментальные спектры π^+ -мезонов, полученные в реакции:



при энергии первичного π^- -мезона, равной 40 ГэВ . Для этого было взято около $5000 \pi^+$ -мезонов и для каждого из них был смоделирован распад на два γ -кванта, как если бы это был π^0 -мезон. Для этой цели программа генерировала два случайных числа r_1 и r_2 , распределенных равномерно в интервале $[0, 1]$. Отсюда получали косинус полярного угла вылета γ -кванта η и его азимутальный угол ϕ :

$$\eta = 2r_1 - 1, \quad \phi = 2\pi r_2.$$

По ним вычислялся импульс фиктивного γ -кванта в системе покоя π^+ -мезона:

$$\vec{p}' = \frac{m}{2} \{ \sqrt{1-\eta^2} \cos \phi, \eta, \sqrt{1-\eta^2} \sin \phi \}.$$

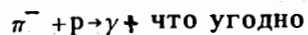
Затем, зная импульс π^+ -мезона (\vec{p}_{π}^+), переводили импульс этого γ -кванта в систему центра инерции реакции /15/:

$$\vec{p} = \vec{p}' + \vec{p}_{\pi} \left(\frac{1}{2} + \frac{\vec{p}_{\pi} \cdot \vec{p}'}{m_{\pi} (m_{\pi} + \omega_{\pi})} \right). \quad /16/$$

Полученные спектры γ -квантов вводились в программу STREG и восстановленные спектры π^+ -мезонов сравнивались с исходными спектрами π^+ -мезонов. В пределах однократной ошибки оба спектра совпадают /рис. 5/.

§5. Восстановление спектров продольных и поперечных импульсов π^0 -мезонов

Для восстановления спектров π^0 -мезонов использовались спектры γ -квантов, полученных в реакции:



при облучении двухметровой пропановой пузырьковой камеры ОИЯИ пучком π^- -мезонов с импульсом $40,00 \pm 0,24$ ГэВ/с на серпуховском ускорителе. Методика обработки событий с γ -квантами, способы разделения каналов реакции и эффективность регистрации γ -квантов приведены в работах /9,10/.

На рис. 6,7 показаны продольные спектры γ -квантов в системе центра инерции и спектр проекций импульсов на одну из поперечных осей (x). Средняя эффективность регистрации одного γ -кванта $\epsilon \sim 20\%$. В спектры включены все γ -кванты от всех событий, в том числе от событий, в которых зарегистрировано несколько γ -квантов.

Вычисления производились на машинах СДС-1604А, БЭСМ-6 и СДС-6200. Варьировалось число опорных точек как в экспериментальных спектрах γ -квантов, так и в искомым спектрах π^0 -мезонов, менялась также протяженность спектров. Из уравнений /1/ следует, что если спектр $N(p_{||})$ ограничен интервалом $0 \leq p_{||} \leq \bar{p}$, то

спектр $n(q_{||})$ ограничен интервалом $-\frac{m_\pi}{2} \leq q_{||} \leq \frac{1}{2}(\bar{p} + \sqrt{\bar{p}^2 + m_\pi^2})$;

при высоких энергиях взаимодействия длины спектров $N(p_{||})$ и $n(q_{||})$ практически совпадают. Это относится и к спектрам $\tilde{N}(p_\perp)$, $n(q_x)$. Поэтому мы брали длину искомого спектра $N(p_{||})$, $\tilde{N}(p_\perp)$ примерно равной длине спектров γ -квантов или несколько больше нее. Последние тянутся практически до ∞ , но их следует обрывать на значениях $q_{||}$, при которых разброс $n(q_{||})$ становится сравнимым с самими $n(q_{||})$ /иначе на концах восстанавливаемого спектра $N(p_{||})$ возникают физически бессмысленные подъемы/. Результаты получались сразу в

виде графиков, вместе с коридором ошибок. На рис. 8 показаны результаты восстановления продольного спектра импульсов π^0 -мезонов в системе центра инерции. Для сравнения рядом показан такой же спектр импульсов π^+ -мезонов, измеренный непосредственно и нормированный на ту же площадь, что и для π^0 -мезонов.

Спектр поперечных импульсов получали двумя путями. Первый путь состоял в восстановлении спектра $N(p_x)$ /рис. 9/ проекций импульсов π^0 -мезонов на ось x по спектру $n(q_x)$; проекций импульсов γ -квантов на ту же ось с помощью решения уравнения /1/. Затем, решая /2/, восстанавливали спектр $\tilde{N}(p_\perp)$. Второй путь заключался в решении интегрального уравнения, непосредственно связывающего $\tilde{N}(p_\perp)$ с $n(q_x)$:

$$n(q_x) = \frac{1}{\pi} \int_{q_x - \frac{m_\pi^2}{4q_x}}^{\infty} \tilde{N}(p_\perp) (p_\perp^2 + m_\pi^2)^{-1/2} F(k, \phi) dp_\perp, \quad /17/$$

где $F(k, \phi)$ - эллиптическая функция, $k = \frac{p_\perp}{\sqrt{p_\perp^2 + m_\pi^2}}$;
 $\cos \phi = (q_x - \frac{m_\pi^2}{4q_x}) / p_\perp$.

/подробнее см. работу /1/, формулы /34/, /35//. Результаты обоих решений показаны на рис. 10.

Выводы

1. Математически некорректная задача восстановления спектров π^0 -мезонов по спектрам γ -квантов может быть решена методом статистической регуляризации Турчина.

2. Точность восстанавливаемого таким образом спектра π^0 -мезонов сравнима с точностью экспериментального определения спектров заряженных мезонов.

3. По нашему убеждению, метод может оказаться пригодным для решения более сложных обратных задач экспериментальной физики частиц высоких энергий.

Литература

1. G.I.Kopylov. *Nuclear Physics*, B52, 126, 1973.
2. В.Ф.Турчин. *Ж.вычисл.матем. и мат.физики*, 8, 230 /1968/.
3. В.Ф.Турчин, В.З.Нозик. *Изв. АН СССР, сер. "Физика атмосферы и океана"*, 5, 29, 1969.
4. В.Ф.Турчин, В.П.Козлов, М.С.Малкевич, *УФН*, 102, 345, 1970.
5. M.Dakowski et al. *JINR*, E11-6969, Dubna, 1973.
6. В.Г.Гришин, Д.К.Копылова и др. *ЯФ*, 12, 756, 1970.
7. Г.Г.Тахтамышев. *Препринт ОИЯИ*, 2543, Дубна, 1966.
8. Г.И.Копылов. *Основы кинематики резонансов*. "Наука", Москва, 1970, гл. 5.
9. А.У.Абдурахимов, Н.Ангелов и др. *Препринт ОИЯИ*, I-6967, Дубна, 1973.
10. А.У.Абдурахимов, Н.Ангелов и др. *Препринт ОИЯИ*, P1-6928, Дубна, 1973.

Рукопись поступила в издательский отдел
13 ноября 1973 года.

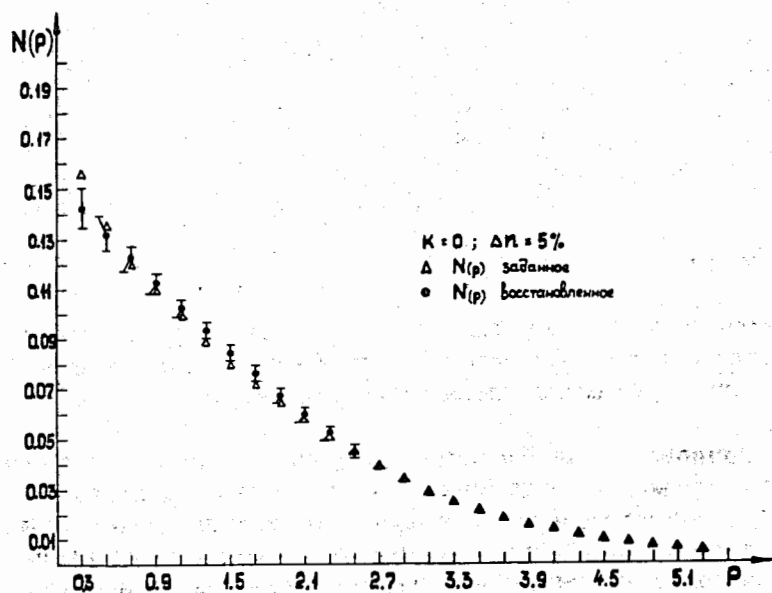


Рис. 1

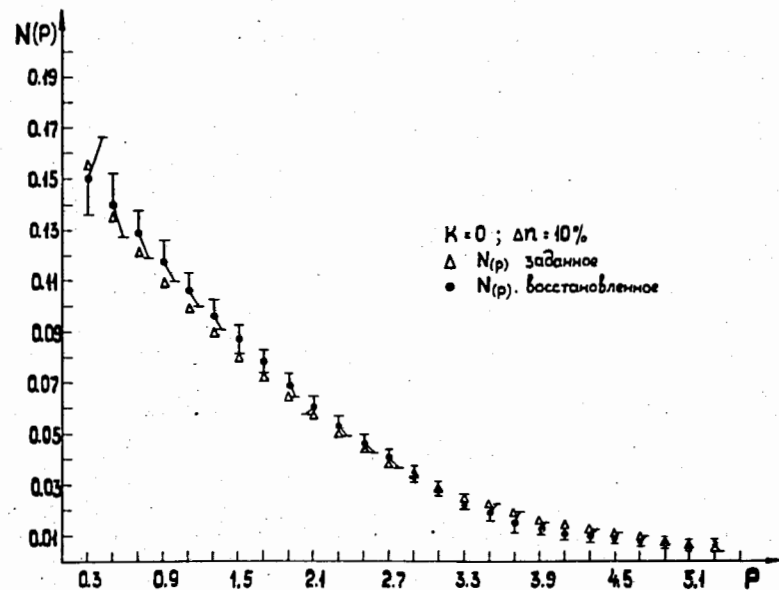


Рис. 2

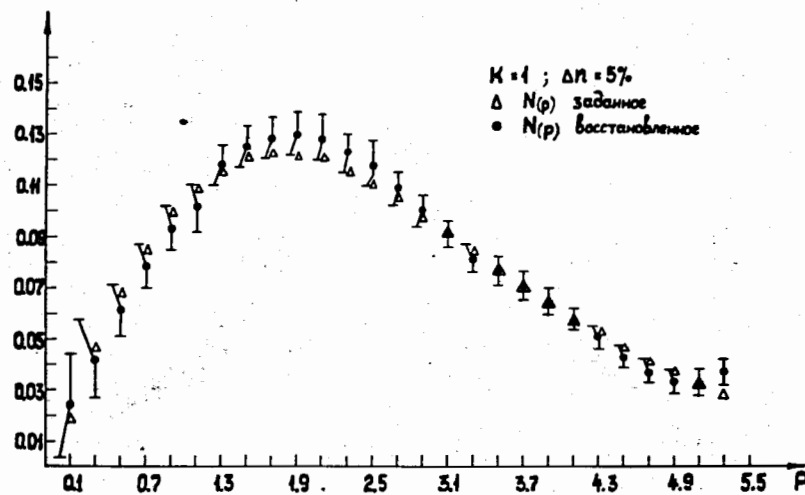


Рис. 3

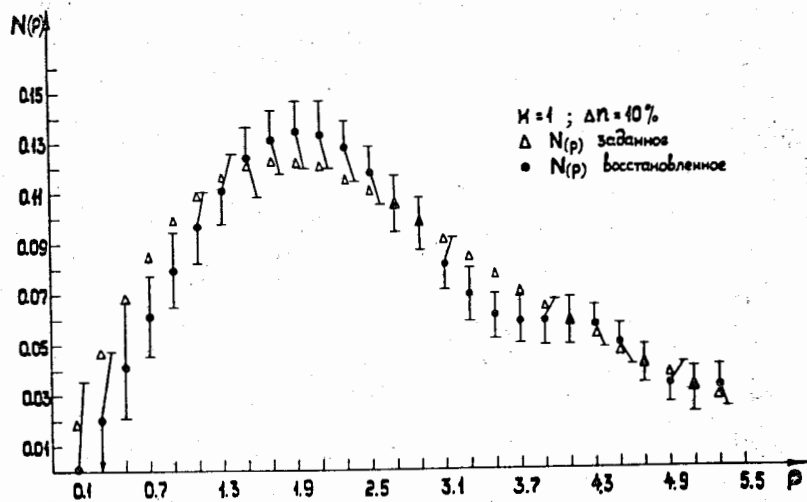


Рис. 4

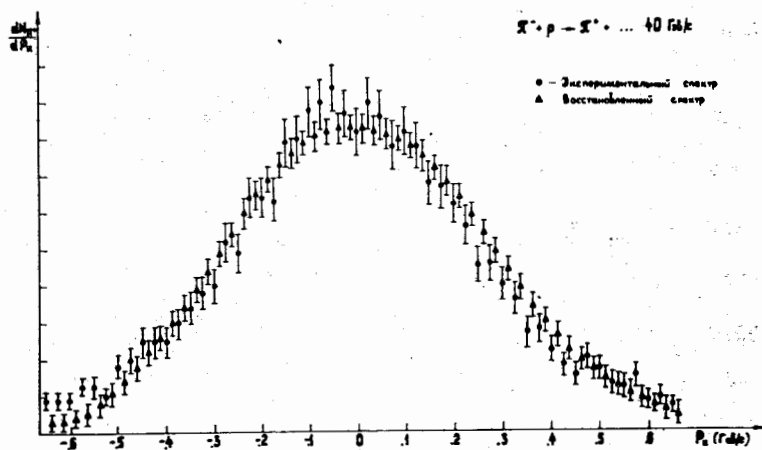


Рис. 5

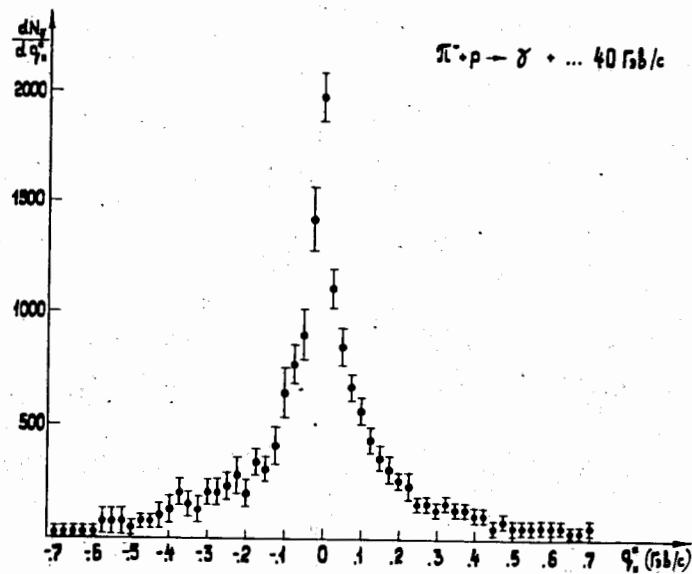


Рис. 6

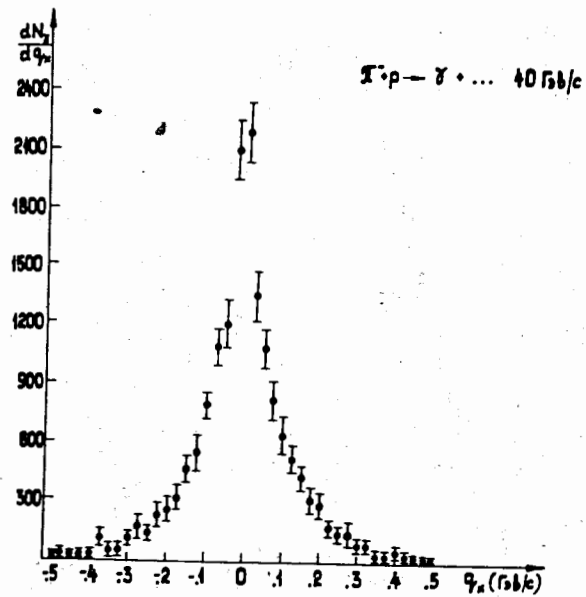
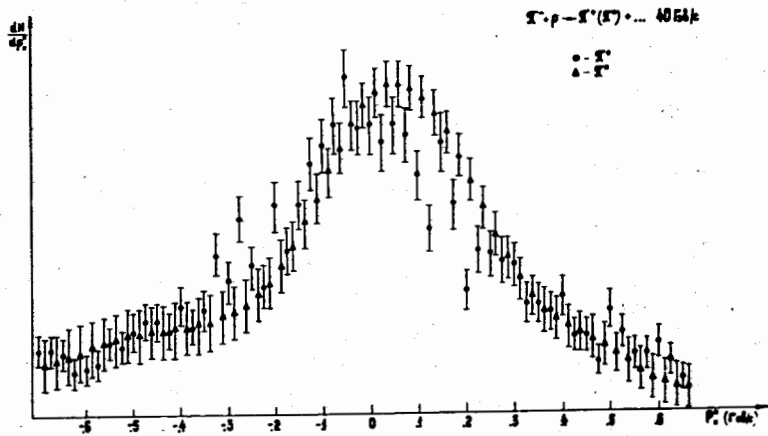
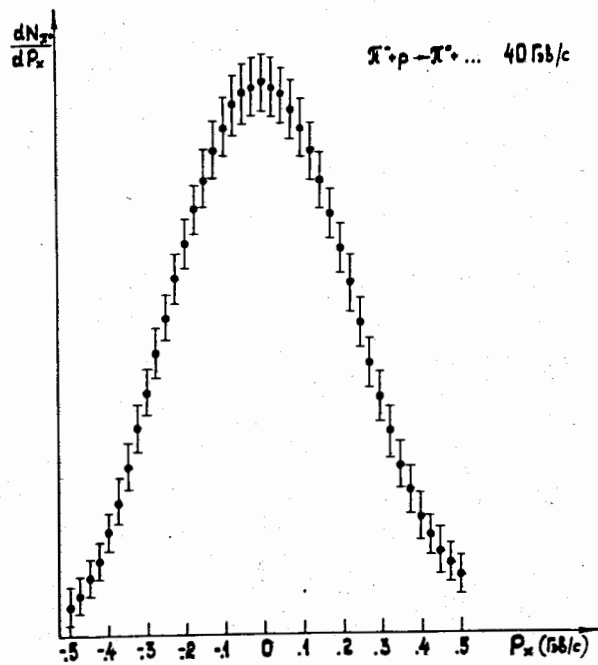


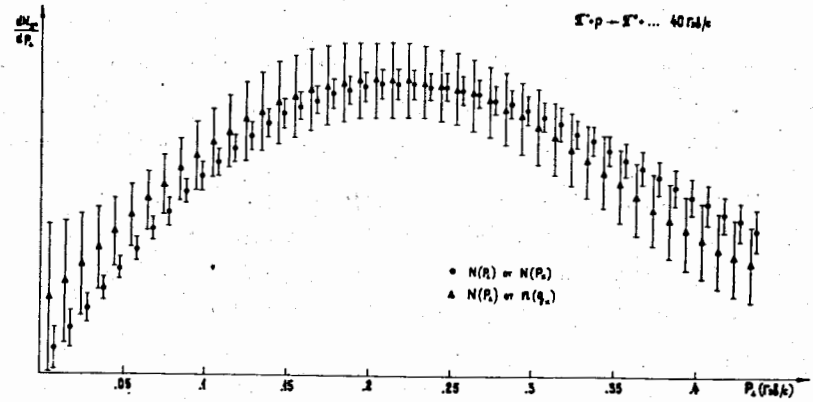
Рис. 7



Puc. 8



Puc. 9



Puc. 10